

직렬 두요소 모델, 두영역 모델, Stanitz 방정식에 대한 변수 연구

윤성호* · 백제현**

Parameter Study of TEIS Model, Two-zone Model, and Stanitz's Equations

Sungho Yoon and Je Hyun Baek

Key Words : Off-design Performance Prediction(탈설계 성능 예측), Two-zone Model(두영역 모델), TEIS Model(직렬 두요소 모델), Loss Model(손실 모델), Vaneless Diffuser(베인 없는 디퓨저), Parameter Study(변수 연구)

Abstract

Recently TEIS model, Two-zone model, and Stanitz equations are often used for off-design performance prediction of centrifugal compressor and pump. The prediction results often agree well with experimental data. However these models and equations have some important variables which have a great influence on overall performance prediction curve. But no systematic study about these variables has been performed. So, in this paper, a systematic study about these variables' influence on overall performance prediction curve is performed. Finally the meaning of the variables and the research to be undertaken are discussed.

기호설명	
C	Absolute velocity
C_p	Pressure recovery coefficient
c_f	Skin friction coefficient in vaneless diffuser
DR	Diffusion ratio
U	Blade speed
W	Relative velocity
α	Absolute flow angle
η	Efficiency ; Effectiveness
x	Secondary flow mass fraction

하첨자

a 직렬두요소 모델의 첫 번째 요소

b	직렬두요소 모델의 두 번째 요소
ϕ	두영역 모델의 주영역 부분
s	두영역 모델의 부영역 부분

1. 서론

최근 원심 압축기 및 펌프 성능예측을 위하여 직렬 두요소 모델과 두영역 모델, 그리고 Stanitz 방정식을 사용하는 예⁽¹⁻⁵⁾가 늘어나고 있다. 그러나 이러한 모델과 방정식들은 몇 가지 중요한 변수들을 포함하고 있는데 이러한 변수들의 값을 바르게 결정해 주는 것은 매우 중요하다. 주요 변수로는 두영역 모델에서 부영역 질량비를 나타내는 x , 직렬 두요소 모델에서 각 요소에 해당하는 효율 η_a 와 η_b , 그리고 Stanitz 방정식에서 벽면 마찰 손실을 나타내는 c_f (혹은 k) 값을 들 수 있다. 이러한 변수들의 값은 일반적으로 실

* 회원, 포항공대 기계공학과 대학원
 ** 회원, 포항공대 기계공학과

험식에 의존하거나 경험으로부터의 추천 값들을 이용하게 되는데 현재까지 이러한 변수들이 전체 성능 예측에 어떠한 영향을 미치는 지에 대한 체계적인 연구가 이루어 지고 있지 않다. 최근 최⁽²⁾등에 의해서 직렬 두요소 모델과 두영역 모델의 변수들이 전체 성능 예측 곡선에 미치는 영향에 대한 연구가 이루어 졌으나 두 영역 모델의 주요 변수 χ 가 미치는 영향에 대하여 잘 못 기술하였다. 본 연구에서는 기존의 윤과 백⁽¹⁾의 연구를 바탕으로 주요 변수들의 값이 변함에 따라 전체 성능 예측 곡선이 어떻게 변하는지에 대한 체계적인 연구를 수행한 후 각 변수들의 의미와 앞으로의 연구방향에 대하여 토의하였다.

2. 회전차 모델

Japikse⁽⁶⁾ 에 의해 개발된 직렬 두요소 모델은 회전차를 지나는 유동의 확산 정도를 나타내기 위하여 회전차를 두 개의 연속된 디퓨저[Fig. (1.a)]로 본다. 첫 번째 요소는 Fig. (1.b)에서 보는 바와 같이 회전차 입구에서 목까지의 가변 기하 요소에 해당하는 부분으로서 유동의 각도 또는 입사각에 따라 가속되기도 하고 확산되기도 한다. 두 번째 요소는 Fig. (1.c)에 나타나 있듯이 회전차 목에서 출구까지의 영역으로 일정한 형상을 가지는 회전차 유로에 해당하며 대부분 디퓨저의 역할을 한다.

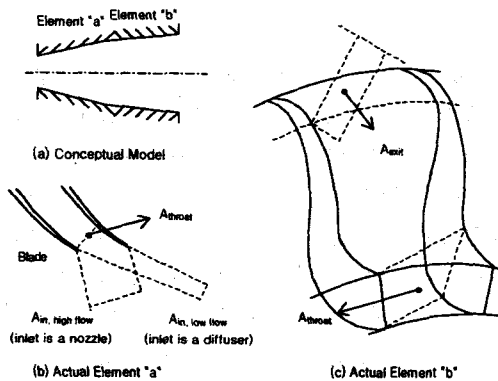


Fig. 1 TEIS conceptual model

이 때 회전차를 통과하며 입구에서 출구 주영역 부분까지의 확산비는 식(1)과 같이 표현할 수 있다.

$$DR_2^2 = \frac{1}{1 - \eta_a C_{pa,i}} \times \frac{1}{1 - \eta_b C_{pb,i}} \quad (1)$$

두 영역 모델은 회전차 내부의 유동을 Fig. 2와 같이 제트 영역과 웨이크 영역으로 나누는데 있다. 이 때 몇 가지의 가정에 대하여서는 윤과 백⁽¹⁾에 의해 기술되어졌으며 이 때 특히 중요한 변수로는 부영역 질량비를 나타내는 χ 의 값이 있다.

Japikse⁽⁷⁾는 η_a , η_b , χ 의 값을 압축기의 직경에 따라 제안하였는데 이는 Table 1과 같다.

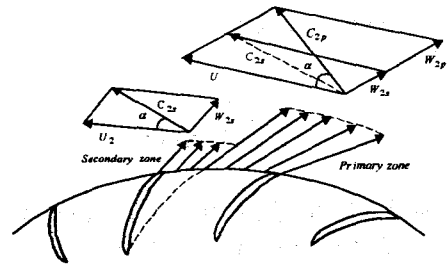


Fig. 2 Schematic representation of two-zone model

Table 1 Recommended values for TEIS model and Two-zone model (Japikse⁽⁷⁾)

Case	η_a	η_b	χ
Large, well-designed rotors ($>10''$ to $12''$ D or smaller if well-designed)	0.9-1.1	0.4 to 0.6	0.1-0.2
Medium size, well-designed ($4''$ to $10''$ D)	0.8-0.9	0.3 to 0.5	0.15-0.25
Medium size, ordinary design ($4''$ to $10''$ D)	0.6-0.8	0.0 to 0.4	0.20-0.30
small or poorly designed ($<4''$ D)	0.4-0.6	-0.3 to 0.3	0.25-0.35

3. Stanitz 방정식

윤과 백⁽¹⁾은 Stanitz⁽⁸⁾의 방법을 기준으로 단일 조건, 원심 압축기라는 조건을 사용하여 반지름의 증가에 따른 압축성 미분방정식을 얻었고 이것을 4-stage Runge-Kutta method를 사용하여 풀어 주었다. 이 때 벽면에서의 마찰 손실을 나타내는 c_f 는 Japikse에 의해 제안된 다음과 같은 식을 사용한다.

$$c_f = k \left(\frac{180,000}{Re} \right)^{0.2} \quad (2)$$

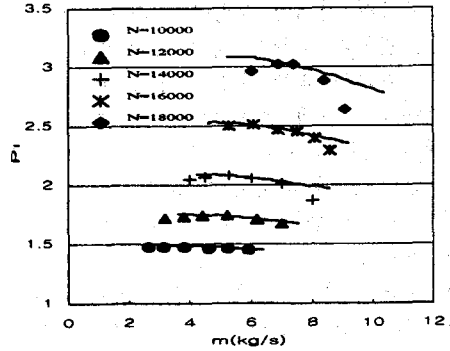
이 때 Japikse⁽⁷⁾에 의하면 k 의 값이 0.1을 기준으로 0.05에서 0.15까지 다양한 값을 가질 수 있다고 하였다. 위의 결과 부근에서 k 의 값의 변화에 따른 성능예측 곡선이 어떻게 변화는지를 보였다.

4. 결과

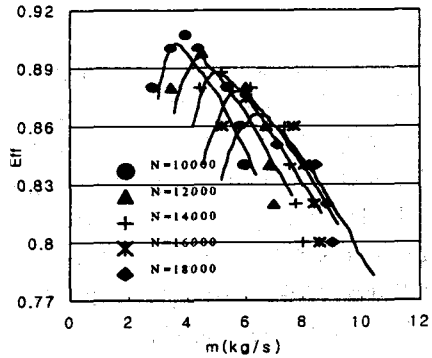
윤과 백⁽¹⁾의 연구에서는 위의 모델들과 방정식을 사용하여 성능 예측 프로그램을 작성하였으며 Eckardt O, A 압축기^(9,10)에 대하여 실험 결과와 비교하여 잘 일치하는 것을 확인하였다. 본 연구에서는 이것을 바탕으로 몇 가지 주요 변수들의 변화에 따른 $N=14000$ 에서의 Eckardt O 압축기의 성능 곡선의 변화를 살펴보았다. Table 2는 Eckardt O 압축기의 회전수를 $N=14000$ 로 고정시켰을 때 주요 변수의 기준 값들과 변화 값들을 나타낸 것이다. 각 변수에 대하여 case 1, case 2의 변화 값을 주었고 이 때 다른 변수 값들은 기본 값으로 고정시켰다. Fig.3은 주요 변수들을 기본 값으로 설정하였을 때 Eckardt O 압축기에 대한 성능 곡선과 실험 값들을 비교한 것이다.

Table 2 Variations of important empirical parameters

	Reference	Case 1	Case 2
(η_a, η_b)	(1.0, 0.5)	(0.8, 0.5)	(1.0, 0.25)
χ	0.15	0.1	0.2
k	0.008	0.005	0.012



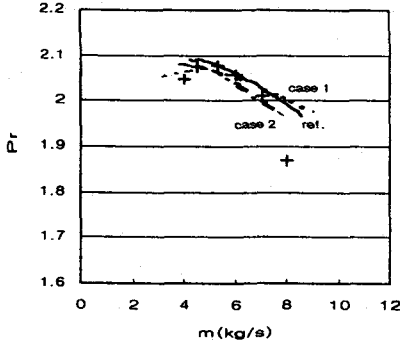
(a) Pressure ratio



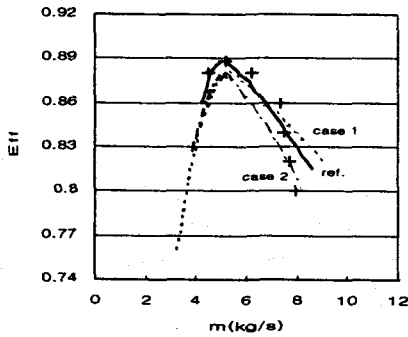
(b) Efficiency

Fig. 3 Performance prediction for Eckardt O

Fig. 4는 χ, k 를 기준값으로 고정시킨 후 직렬 두요소 모델의 η_a, η_b 의 값의 변화에 따른 성능 곡선의 민감도를 나타낸 것이다. Case 1처럼 η_a 를 감소시킨 경우 어떤 점을 중심으로 저유량에서는 압력비와 효율이 감소하고 고유량에서는 압력비와 효율이 증가하는 것을 볼 수 있다. 즉 η_a 는 성능 곡선의 기울기를 변화시키고 있다. 또한 η_a 가 감소함에 따라 스톨(stall)과 초크(choke) 사이의 안전 운전 영역(stable operation range)이 넓어졌는데 이는 η_a 의 감소에 따라 속도의 확산비가 감소함으로 스톨이 보다 낮은 유량에서 생기게 된 것이다. Case 2처럼 η_b 가 감



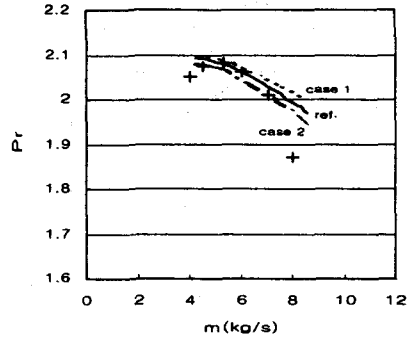
(a) Pressure ratio



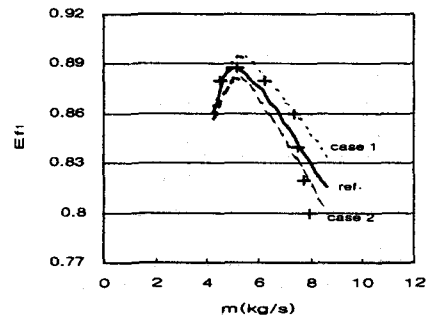
(b) Efficiency

Fig. 4 TEIS model's effect on performance analysis at 14000 rpm

소함에 따라 압력비와 효율이 조금 감소하는 것을 볼 수 있다. 즉 η_b 의 증감에 따라 압력비 및 효율의 성능 곡선이 일정량 상하 이동하게 된다. η_b 는 안전운전 영역에 큰 영향을 미치지 못하는데 이는 TEIS model에서 두 번째 요소(element b)는 첫 번째 요소에 비해 전체 확산비에 큰 영향을 못 미치는 것에 기인한다. 원래 η_a , η_b 를 결정하기 위하여서는 입·출구에서의 속도 비를 측정하여 이것에 가장 잘 일치하는 값으로 결정해주어야 하지만 이러한 실험 데이터가 없는 경우에는 Table 1에서 제시한 값의 평균값을 사용할 수밖에 없다. 그러나 Fig. 4에서 보는



(a) Pressure ratio

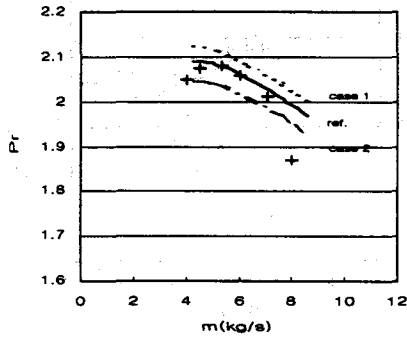


(b) Efficiency

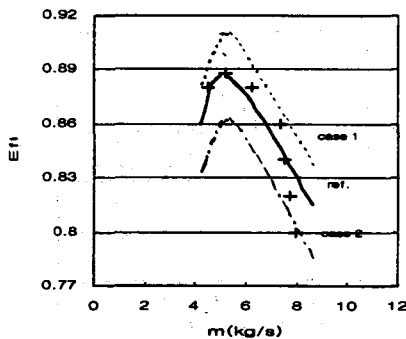
Fig. 5 Secondary mass flow rate ratio's effect on performance analysis at 14000 rpm

바와 같이 η_a , η_b 에 따라 전체 성능 곡선이 많은 영향을 받으므로 이것을 좀더 정확한 실험식으로 나타내는 것이 필요할 것이다.

두영역 모델의 변수들에 대한 영향을 평가하기 위하여 Fig. 5는 부영역 부분의 질량비 χ 를 변화시킴에 따른 성능 곡선 변화를 나타내었다. Case 1처럼 χ 가 감소함에 따라 압력비 및 효율이 기준 값에 비하여 크게 예측되었고 Case 2처럼 χ 가 증가함에 따라 낮게 예측되었다. 최⁽²⁾ 등은 원심펌프 성능해석 예측 곡선에 대하여 η_a , η_b , χ 의 영향이 중요하다는 것을 지적하였으며 그 중 η_a , η_b 를 비속도 N_s 에 대한 실험식을



(a) Pressure ratio



(b) Efficiency

Fig. 6 k 's effect on performance analysis at 14000 rpm

제시하였으나 χ 에 대하여서는 실험식을 제안하지 못하였다. 그리고 χ 가 증가함에 따라 펌프의 수두가 증가한다고 하였으나 Fig. 5에서는 압축기의 압력비가 감소하는 결과를 나타내었다. 물리적으로 부영역 질량 비가 커짐에 따라 압력비, 수두가 감소하는 것이 타당할 것이다. 제시하지는 않았지만 테스트 결과 부영역 부분의 후류에서의 편차각 δ_{2s} 의 변화에 대하여 전체 성능 곡선은 거의 영향을 받지 않는 것으로 밝혀졌다. 이 외에도 두영역 모델에서는 출구 주영역 부분과 부영역 부분에서의 정압이 같다고 가정하였는데 최근 조와 강⁽¹¹⁾에 의해서도 지적되고 있듯이 회전차 출구 단면에서의 정압의 변화가 무시할 수 없으므로 주영역 부분과 부영역 부분의

정압이 같다는 가정은 보완이 되어야 할 것이다.

두영역 모델과 직렬두요소 모델을 제외하고 성능에 큰 영향을 미치는 요소로는 디퓨저에서의 표면 마찰 계수 k 와 외부손실 중 재순환 손실을 들 수 있다. Japikse⁽⁷⁾에 의하면 k 가 0.01을 중심으로 유동 조건에 따라 0.005-0.02 정도까지 변할 수 있다고 하였다. Fig. 6은 깃 없는 디퓨저에서의 표면마찰상수 k 값의 변화에 따른 전체 성능해석 곡선의 변화를 나타낸 것으로 k 값의 변화에 따라 성능 곡선이 매우 민감하게 영향을 받는 것을 알 수 있다. 그러나 이러한 k 값의 중요성에 반하여서 k 값에 대한 연구는 별로 이루어지지 않고 있으므로 이 부분에 대한 정량적인 해석이 이루어지고 적합한 실험식이 개발되어야 한다.

5. 결 론

직렬두요소 모델, 두영역 모델, Stanitz 방정의 주요 변수들이 전체 성능 예측 곡선에 어떠한 영향을 미치는 지에 대하여 조사하여 다음과 같은 결론을 얻었다.

(1) 직렬두요소 모델의 η_a , η_b 에 대한 전체 성능의 민감도를 조사해본 결과 η_a 는 성능곡선의 기울기에 영향을 미치며 안전 운전 영역의 범위에 크게 영향을 미치는 한편 η_b 는 전체 성능 곡선의 상하로 이동시키는 역할을 하며 안전 운전 영역의 범위에는 크게 영향을 미치지 못하였다.

(2) 두영역 모델의 부영역 비 χ 에 대한 전체 성능 곡선의 민감도를 조사해본 결과 χ 값이 클수록 전체 성능곡선이 낮게 예측되었고 작을수록 크게 예측되었다.

(3) 깃 없는 디퓨저에서의 표면마찰계수의 변화에 따라서 성능곡선이 민감하게 작용하였으며 k 값에 대한 전체 성능 곡선의 민감도를 조사한 결과 k 값이 클수록 전체 성능곡선이 낮게 예측되었고 작을수록 크게 예측되었다.

앞으로 위에서 언급한 변수들에 대한 정량적인 연구가 수행되어야 할 것이며 이를 기반으로 형

상 및 유동 조건에 따른 실험식 개발이 요구된다.

후기

본 연구는 BK21 사업에 일부 지원을 받았습니다. 이에 감사드립니다.

참고문헌

- (1) 윤성호, 백제현, 1999, "깃 없는 디퓨저를 포함한 원심압축기의 탈설계 해석", *대한기계학회 추계학술대회*, pp. 494-499.
- (2) 최영석, 심재혁, 강신형, 1998, "두영역 모델을 사용한 원심펌프의 성능예측", *1998 유체기계 연구개발 발표회 논문집*, pp. 33-41.
- (3) 오형우, 정명균, 김재원, 1999, "원심형 임펠러에 대한 이구역 모델링", *대한기계학회 논문집 제 23권 제 9호*, pp. 1129-1138.
- (4) 오종식, 윤의수, 조수용, 오균섭, 1998 "40 kW급 터보제네레이터용 원심압축기의 공력설계 및 유동해석", *1999 유체기계 연구개발 발표회 논문집*, pp. 128-135.
- (5) 윤인호, 2000, "원심펌프 설계 및 탈설계 성능예측을 위한 프로그램 개발", *포항공과대학교 석사논문*.
- (6) Japikse D, 1985, "Assessment of Single & Two Zone Modeling of Centrifugal Compressors Studies in Component Performance:Part 3," ASME 85-GT-73.
- (7) Japikse D., 1996, "Centrifugal Compressor Design and Performance," Concepts ETI.
- (8) Stanitz J. D., 1952, "One-dimensional Compressible Flow in Vaneless Diffusers of Radial and Mixed Flow Centrifugal Compressors Including Effects of Friction, Heat Transfer and Area Change," NASA TN-2610.
- (9) Eckardt D., 1976, "Detailed Flow Investigation Within a High Speed Centrifugal Compressor Impeller," *ASME Journal of Fluids Engineering*, Vol. 98, pp. 390-402.
- (10) Eckardt D, 1980, "Flow Field Analysis of Radial and Backswept Centrifugal Compressor Impellers - Part 2 : Flow Measurements using a Laser Velocimeters," *25th ASME Gas Turbine Conference*, pp. 77-86.
- (11) 조성국, 강신형, 1998, "소형 원심압축기의 성능평가에 대한 실험적 연구", *대한기계학회 논문집*, 제 22권 8호, pp. 1052-1063.